

# ИСТОЧНИК МИШЕННОЙ ПЛАЗМЫ С ЩЕЛЕВОЙ ГЕОМЕТРИЕЙ РАЗРЯДНОГО КАНАЛА ДЛЯ УСТАНОВКИ АМБАЛ-Ю

Г.И. Димов, А.А. Кабанцев, С.Ю. Таскаев

В целях повышения параметров мишенной плазмы в открытой магнитной ловушке АМБАЛ-Ю разработан источник плазмы с щелевой геометрией разрядного канала. Размеры плазменной струи в начальном сечении  $24 \times 126$  мм по осям, пиковая плотность до  $10^{15} \text{ см}^{-3}$ , температура 10—20 эВ. Увеличение магнитного поля в источнике позволило в несколько раз снизить  $\beta$  в плазменной струе по сравнению со струями кольцевых плазменных пушек, что положительно сказалось на ее устойчивости относительно баллонных возмущений на участках транспортирующего поля с неблагоприятной кривизной.

THE TARGET PLASMA SOURCE WITH A GAP SHAPE OF THE GAS-DISCHARGE CHANNEL FOR AMBAL-YU. G.I. DIMOV, A.A. KABANTSEV, S.Yu. TASKAEV. The target plasma source with a gap shape of the gas-discharge channel was developed. The initial sizes of plasma stream cross-section are  $2.4 \times 12.6$  cm through the axes, a density is up to  $10^{15} \text{ cm}^{-3}$ , a temperature is 10—20 eV. The parameters of the plasma obtained are close to those of the plasma furnished by the titanium loaded washer-stack plasma guns and by the similar magnetically augmented, gas-injected, washer-stack plasma guns.

Накопление горячей плазмы в открытой магнитной ловушке АМБАЛ-Ю [1] предполагалось путем захвата инжектируемых пучков быстрых атомов на четырех импульсных струях относительно холодной мишенной плазмы, создаваемых газоразрядными источниками (пушками) с кольцевой геометрией разрядного канала [2, 3]. Размер сечения струи в ловушке определяется величиной магнитного потока, проходящего через разрядный канал плазменной пушки. Поэтому для получения требуемых размеров сечения струи каждая плазменная пушка помещена в импульсный соленоид с полем до 0,6 Тл. Плазменные струи, двигаясь вдоль магнитного поля из пушек в ловушку, проходят при этом участок относительно слабого магнитного поля (0,03—0,04 Тл), расположенный перед пробкой ловушки с полем до 2 Тл. Как показали эксперименты, наличие такой области слабого магнитного поля с неблагоприятной кривизной приводит к развитию неустойчивости по баллонным модам, в результате чего эффективная толщина мишенной плазмы в ловушке оказывается недостаточной для накопления горячей плазмы необходимой плотности.

В целях повышения параметров мишенной плазмы было принято решение об установке до-

полнительной пятой плазменной пушки, оптимально приближенной к магнитной пробке ловушки для устранения возможности развития баллонных возмущений. Для лучшего согласования магнитного потока, проходящего через газоразрядный канал источника, с оптимальной геометрией сечения мишенной плазмы в ловушке и в целях сохранения подобия с надежно работающими кольцевыми плазменными пушками была выбрана щелевая геометрия разрядного канала при повышенной величине магнитного поля в источнике.

## ПЛАЗМЕННАЯ ПУШКА

Конструкция плазменной пушки с щелевой геометрией разрядного канала представлена на рис. 1. Рабочий газ (водород) напускался импульсным клапаном 1 во внутреннюю полость алюминиевого катода 2 с сотовой системой отверстий диаметром 0,5 мм для равномерного выхода газа по сечению катода. Полное количество напускаемого за время импульса газа до  $2 \cdot 10^{19}$  молекул  $H_2$ . Молибденовая диафрагма 3 служит анодом вспомогательного разряда, зажигаемого между ней и катодом 2 для инициирования основного. Задержка поджига разряда относительно начала

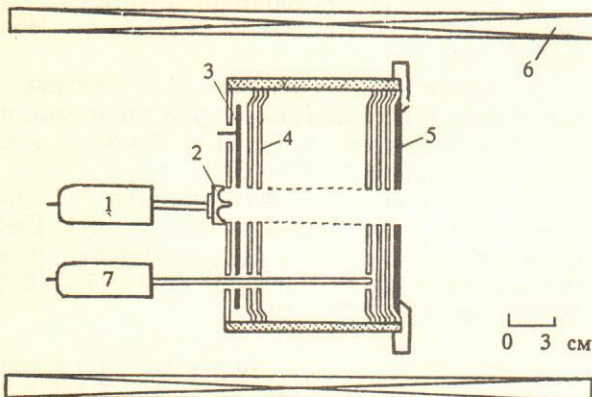


Рис. 1. Плазменная пушка с щелевой геометрией разрядного канала: 1, 7—импульсные газовые клапаны; 2—катод; 3—вспомогательный анод; 4—ограничивающие диафрагмы; 5—анод; 6—соленоид

напуска газа 2—4 мс. Длительность вспомогательного разряда составляет 20 мкс, величина тока 150 А. Основной разряд зажигается между катодом 2 и молибденовой анодной шайбой 5. Канал разряда ограничивается изолированными друг от друга профицированными шайбами 4 из нержавеющей стали толщиной 2 мм с шагом 4 мм. Размеры разрядного канала по осям 24 × 126 мм с радиусом на краях 12 мм. Ток разряда до 12 кА задается LC-линией с длительностью до 1,5 мс. Плазменная пушка находится в однородном магнитном поле импульсного соленоида 6. Величина поля до 0,9 Тл. Для расширения диапазона рабочих параметров источника плазмы предусмотрена возможность независимого напуска водорода в прианодную область импульсным клапаном 7.

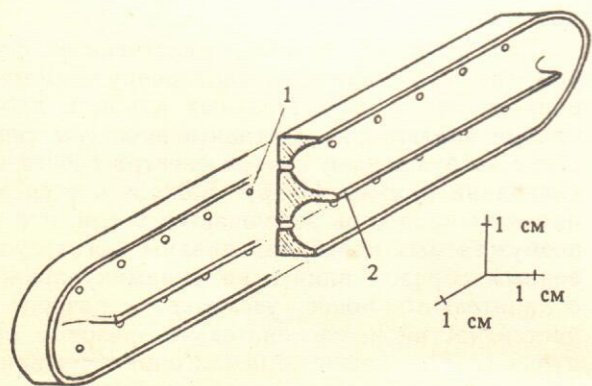


Рис. 2. Катод: 1—отверстия для напуска газа, 2—катодный гребень

Основное конструктивное отличие данного источника от кольцевой плазменной пушки, естественным образом связанное с новой формой сечения разрядного канала,— это существенно модифицированная геометрия катода (рис. 2), позволявшая решить задачу равномерного распределения

катодных пятен без дополнительного набора внутренних диафрагм. Это обеспечивается наличием катодного гребня, создающего желобообразную квазинеодносвязную структуру, определяющую движение катодных пятен в обход гребня.

### ПАРАМЕТРЫ ПЛАЗМЕННОЙ СТРУИ

Полученные параметры плазменной струи из щелевого источника плазмы близки к соответствующим параметрам кольцевой плазменной пушки [2, 3]. Максимальная плотность плазмы в струе на выходе из источника до  $10^{15} \text{ см}^{-3}$ , электронная температура 10—20 эВ. Варьирование параметров плазмы в струе достигается изменением газовых условий в разряде. Увеличение количества напускаемого газа в прианодную область источника или увеличение задержки поджига разряда относительно начала напуска газа в катод приводят к увеличению плотности плазмы и падению электронной температуры. Поток ионов водорода из щелевой плазменной пушки составляет 2—4 кА.

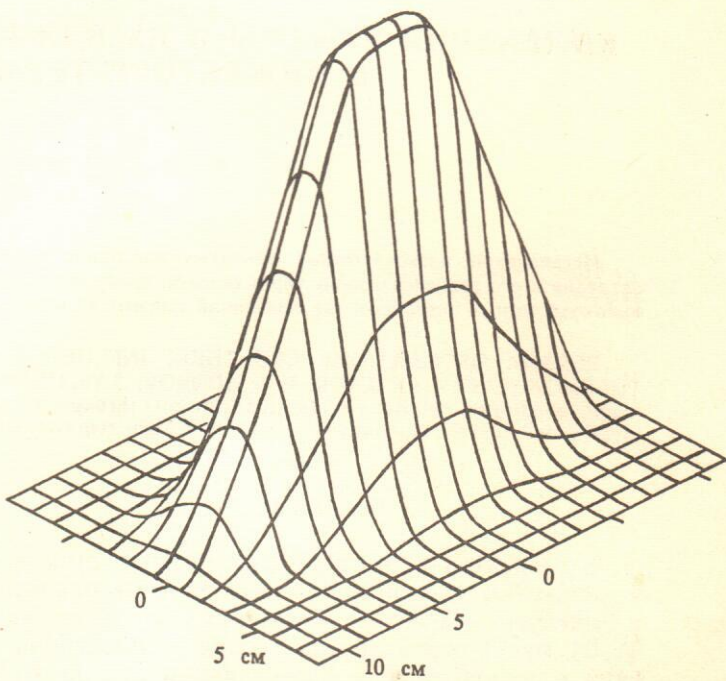


Рис. 3. Изометрическая карта распределения плотности плазмы в центральном сечении пробкотрона

Увеличение магнитного поля в источнике позволило в несколько раз снизить  $\beta$  в плазменной струе, что положительно сказалось на ее устойчивости относительно баллонных возмущений на участках транспортирующего поля с неблагоприятной кривизной. Вместе с более близким по отношению к магнитной пробке размещением щелевой плазменной пушки это позволило значительно улучшить параметры мишениной плазмы в средней плоскости ловушки АМБАЛ-Ю. Пиковая плотность плазмы достигла величины  $3 \cdot 10^{14} \text{ см}^{-3}$ . На рис. 3 представлено распределение плотности

плазмы в струе щелевого источника в центральном сечении пробкотрона. Вклад в толщину мишенной плазмы составляет  $\geq 7 \cdot 10^{14} \text{ см}^{-2}$  по высоте 15 см. В результате вместе с периферийными струями из кольцевых источников в ловушке создается мишенная плазма, обеспечивающая захват ионов из инжектируемых поперек магнитного поля широкоапертурных атомарных пучков с эффективностью выше 60%.

Авторы считают своим долгом выразить благодарность В.Е. Чуприянову, В.Г. Соколову, В.В. Демидову, В.М. Карлинери и другим участникам эксперимента АМБАЛ-Ю за внедрение щелевой плазменной пушки в установку, а также Г.Ф. Кузнецова за выполнение рабочих чертежей пушки.

## Список литературы

1. Димов Г.И. Эксперимент АМБАЛ-Ю: Препринт ИЯФ СО АН СССР № 87-150.— Новосибирск, 1987.
2. Димов Г.И., Иванов А.А., Росляков Г.В. Получение и исследование струи мишенной плазмы для открытой ловушки.— Физика плазмы, 1982, т. 8, вып. 5, с. 970—978.
3. Ivanov A.A. Axisymmetric mirror experiments.— In: Mirror — Based and Field — Reversed Approaches to Magnet. Fusion: Proc. of the course held at Varenna (Italy, 7—17 Sept. 1983), vol. 1, p. 279—289.

Статья поступила в редакцию  
6 марта 1989 г.